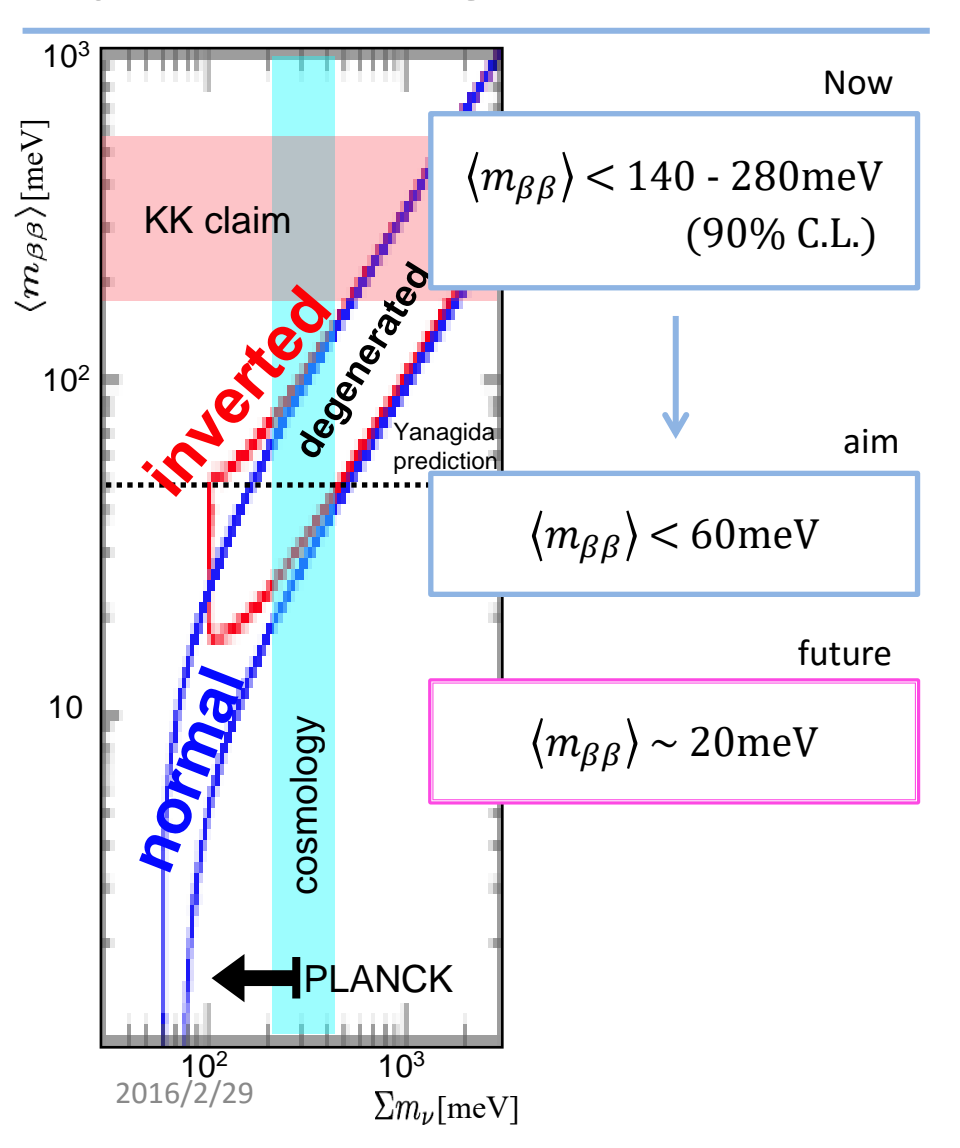
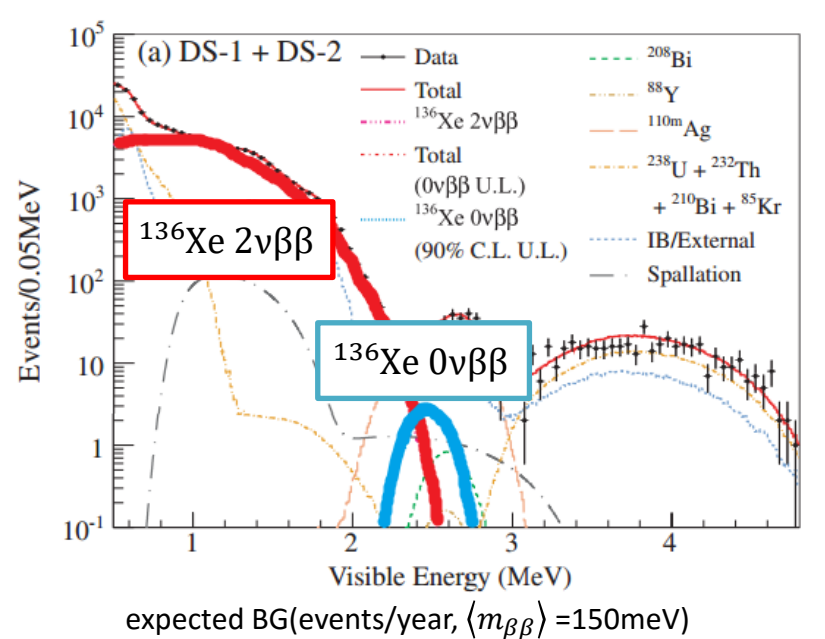
# KamLAND2-Zenに向けた 集光ミラー開発の現状

2016年2月29日 第22回ICEPPシンポジウム 東北大学大学院修士1年 林 歩美

#### **Motivation**

#### KamLAND-Zen





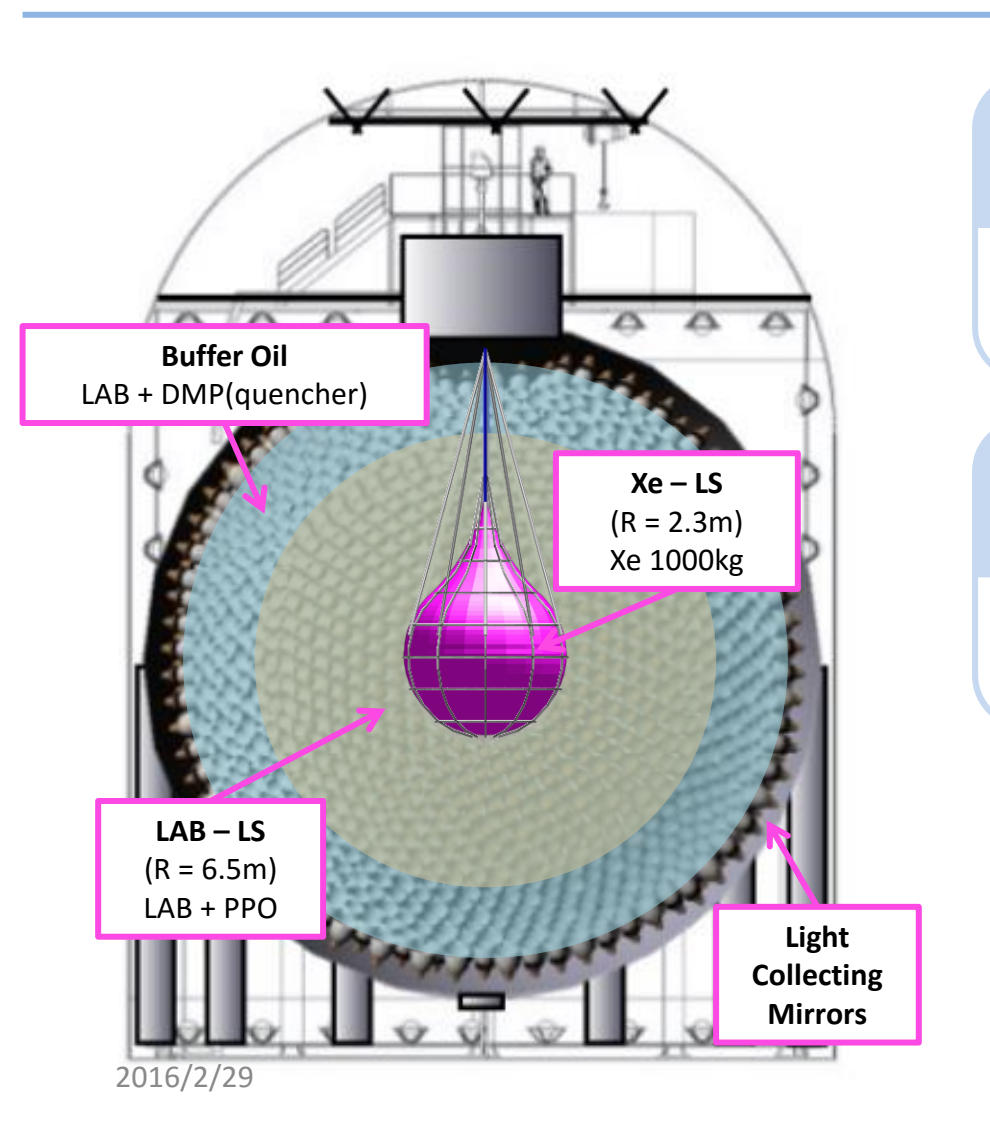
<sup>136</sup> Xe	2ν	<sup>208</sup> Tl	<sup>214</sup> Bi	10C	<sup>11</sup> Be	8B	Total	<sup>136</sup> Χe 0ν
8.55	5	$6.97 \times 10^{-3}$	8.55	1.85	0.15	0.93	19.53	4.59

$$N_{2v} \propto (\Delta E/E)^{5.8}$$

エネルギー分解能を高めることで、  $2\nu\beta\beta$  崩壊の信号と $0\nu\beta\beta$  崩壊の信号を 区別することができる。

#### **Motivation**

#### KamLAND2-Zen



#### Xe 增量

Xe 1000kg

#### 集光ミラー

Light
Collecting × 1.8
Efficiency

#### LAB-LS

Light Yield × 1.5

#### HighQ.E.PMT

Sensitivity × 1.9

$$\Delta E/E \sim \times 0.6$$

 $\langle m_{\beta\beta} \rangle \sim 20 \text{meV}$  / 5years

3

## **Outline**

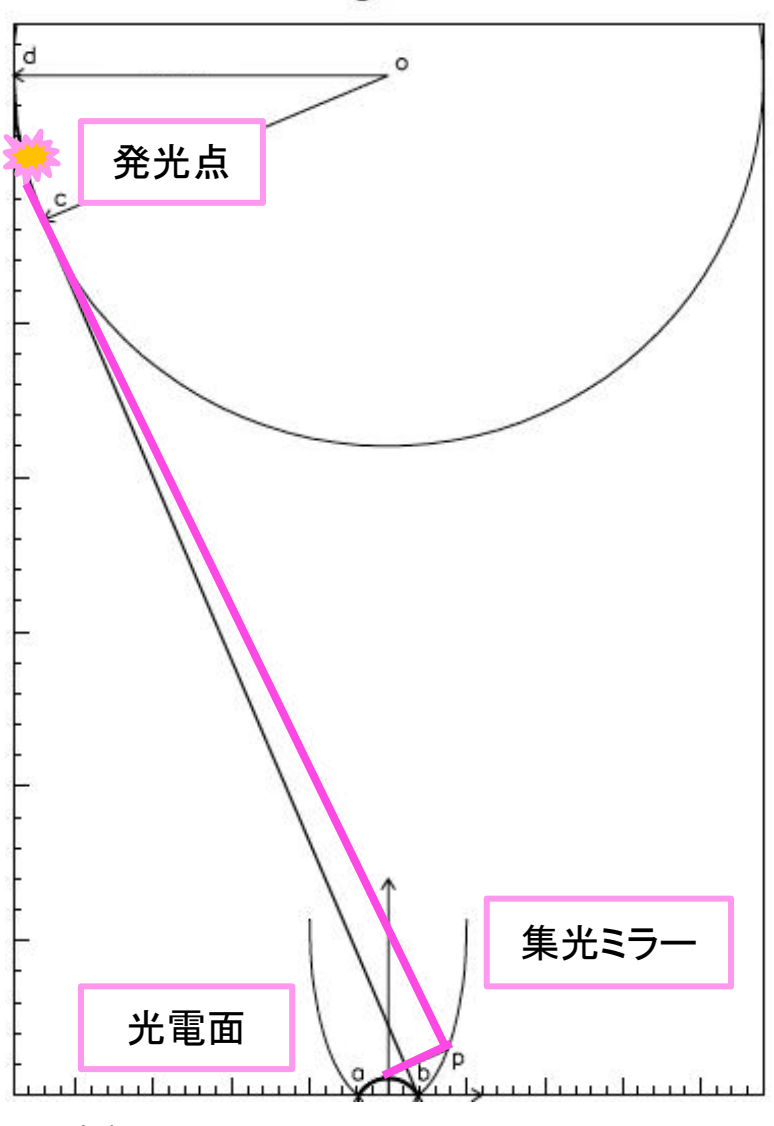
- Winstoncone
  - 形状•素材決定
  - 作製•評価
- Simulation
  - 量子効率の位置・角度依存性
  - LAB-LSの特性
  - 形状の最適化
- まとめと今後

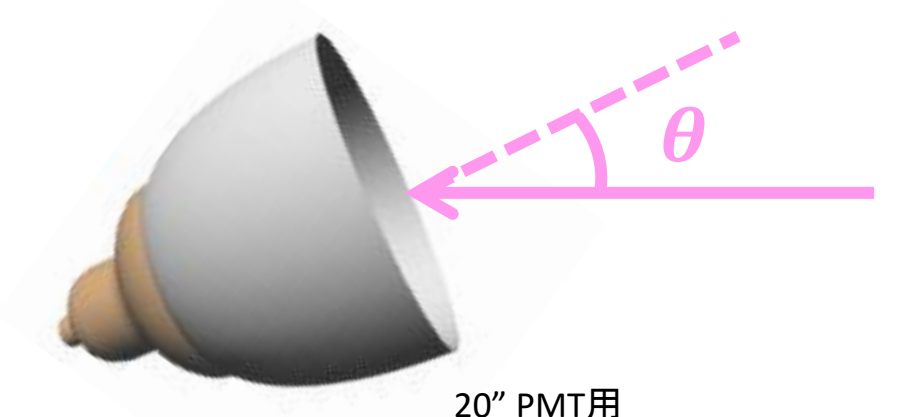
## **Outline**

- Winstoncone
  - 形状•素材決定
  - 作製•評価
- Simulation
  - 量子効率の位置・角度依存性
  - LAB-LSの特性
  - 形状の最適化
- まとめと今後

# Winstoncone (Light Collecting Mirror)

#### String Method





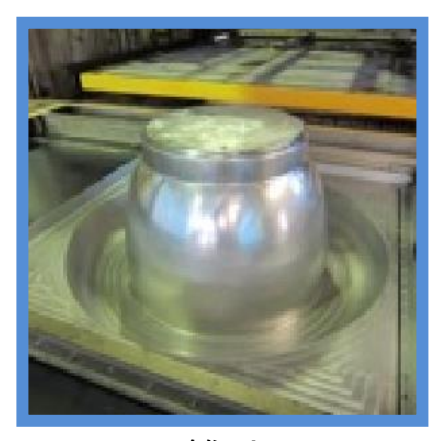
mini-balloon: θ<15deg KamLAND balloon: θ<38deg

- 一般的なライトガイド形状
- ストリングメソッドで形状決定 発光点から最高一回の反射で PMTの光電面に到達する
- 素材は PET板 + AI蒸着
   柔軟さ、低放射能、高反射率、化学的安定性

# Winstoncone (Light Collecting Mirror)

#### 作製手順

- 雛形の作製PET板成型のための雛型を作る
- PET板の成型 真空成型でPET板を成型する
- アルミニウム蒸着 真空炉でアルミを蒸着する

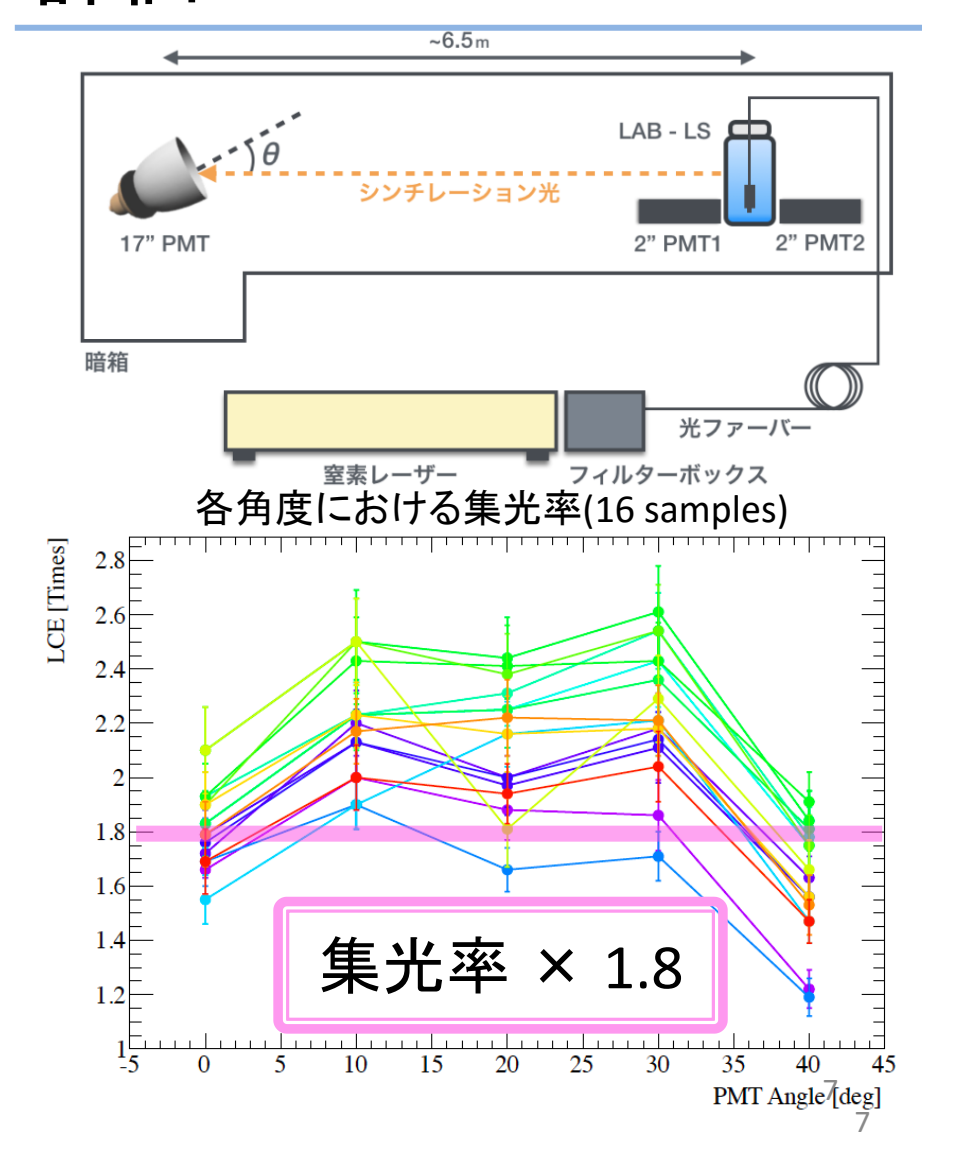




2016/2/雛型

成型

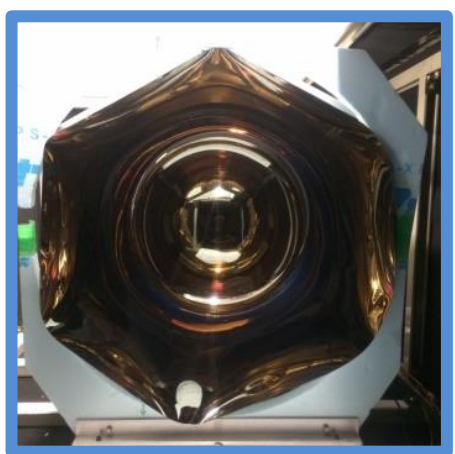
#### 評価



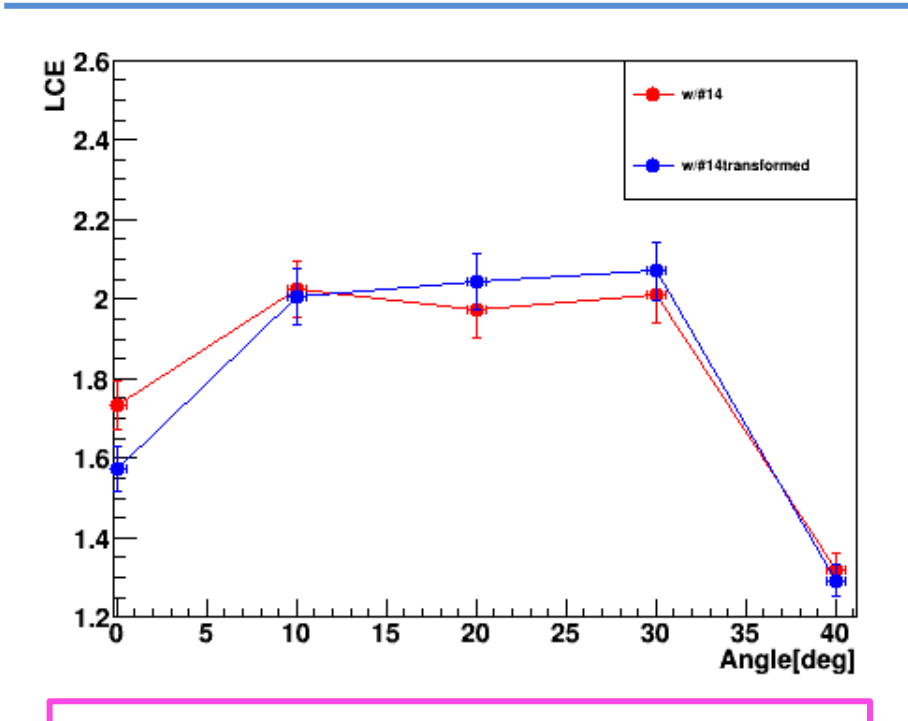
# Winstoncone (Light Collecting Mirror)

#### 変形時の影響

- PMTにミラーを装着すると、 隣のミラーと干渉してしまう
- 簡易的に変形させ、 コーンの変形前後の集光率の変化 を評価した



#### 結果 (サンプル番号#14)



集光率の変化は誤差の範囲内に おさまっている

->実際のスケールでの干渉を 確認する必要あり(今後)

### **Outline**

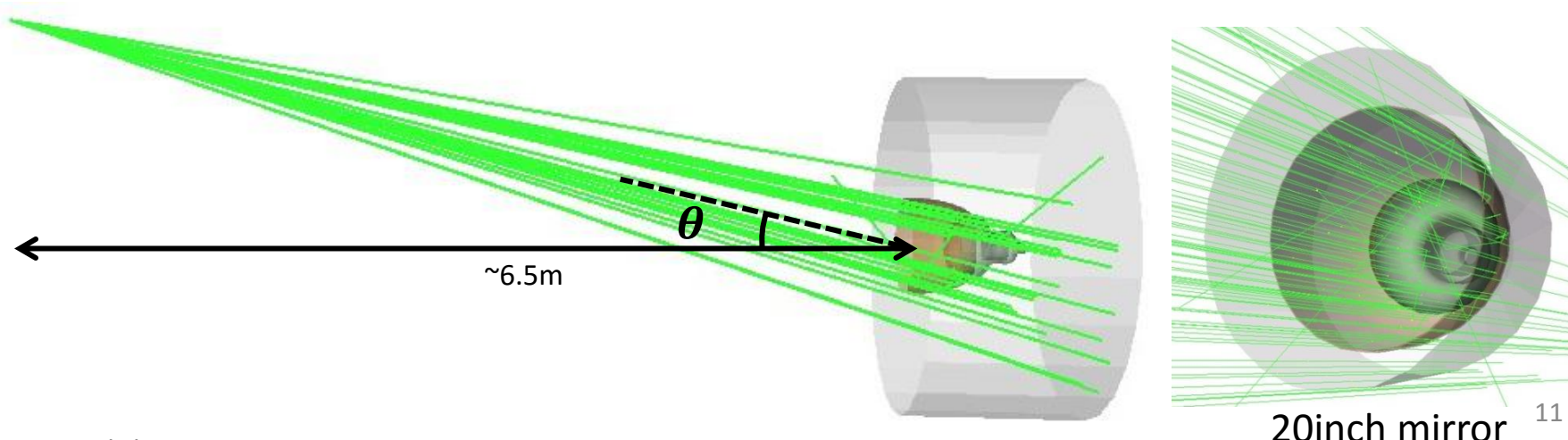
- Winstoncone
  - 形状•素材決定
  - 作製 評価
- Simulation
  - 量子効率の位置・角度依存性
  - LAB-LSの特性
  - 形状の最適化
- まとめと今後

#### **Geant4 Simulation**

- 実験結果を再現するかを確認
  - -> PMTの量子効率の位置・角度依存性
- 実験が困難なLAB-LS中での集光率の評価が可能
  - -> LAB-LSの特性
- 作製しなくても、形状による集光率変化を確認し、 最適化できる

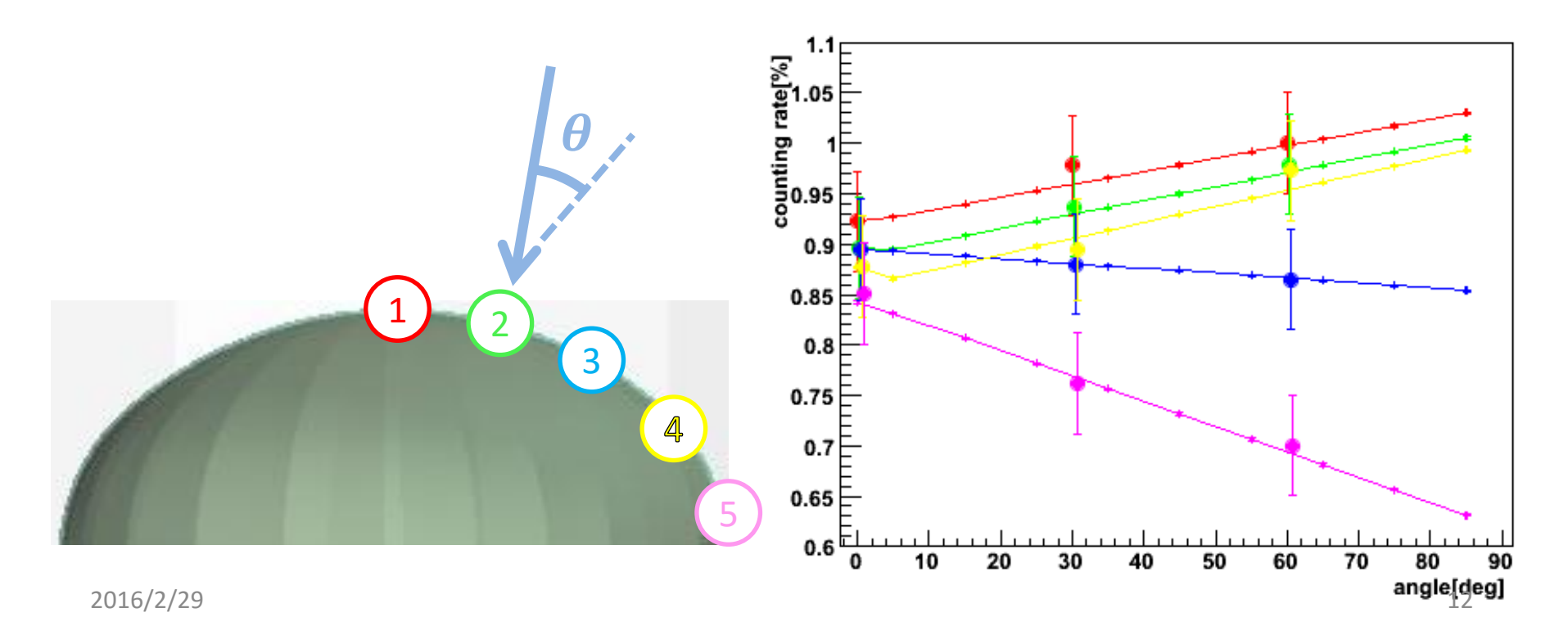
#### **Geant4 Simulation**

- Geant4のphoton simulationを用いた
- PMTの形状、QEのデータは、 KamLANDのシミュレーション「KLG4」のもの
- Setting
  - optical surface: unified, polished, dielectric-metal
  - reflectivity: 85%

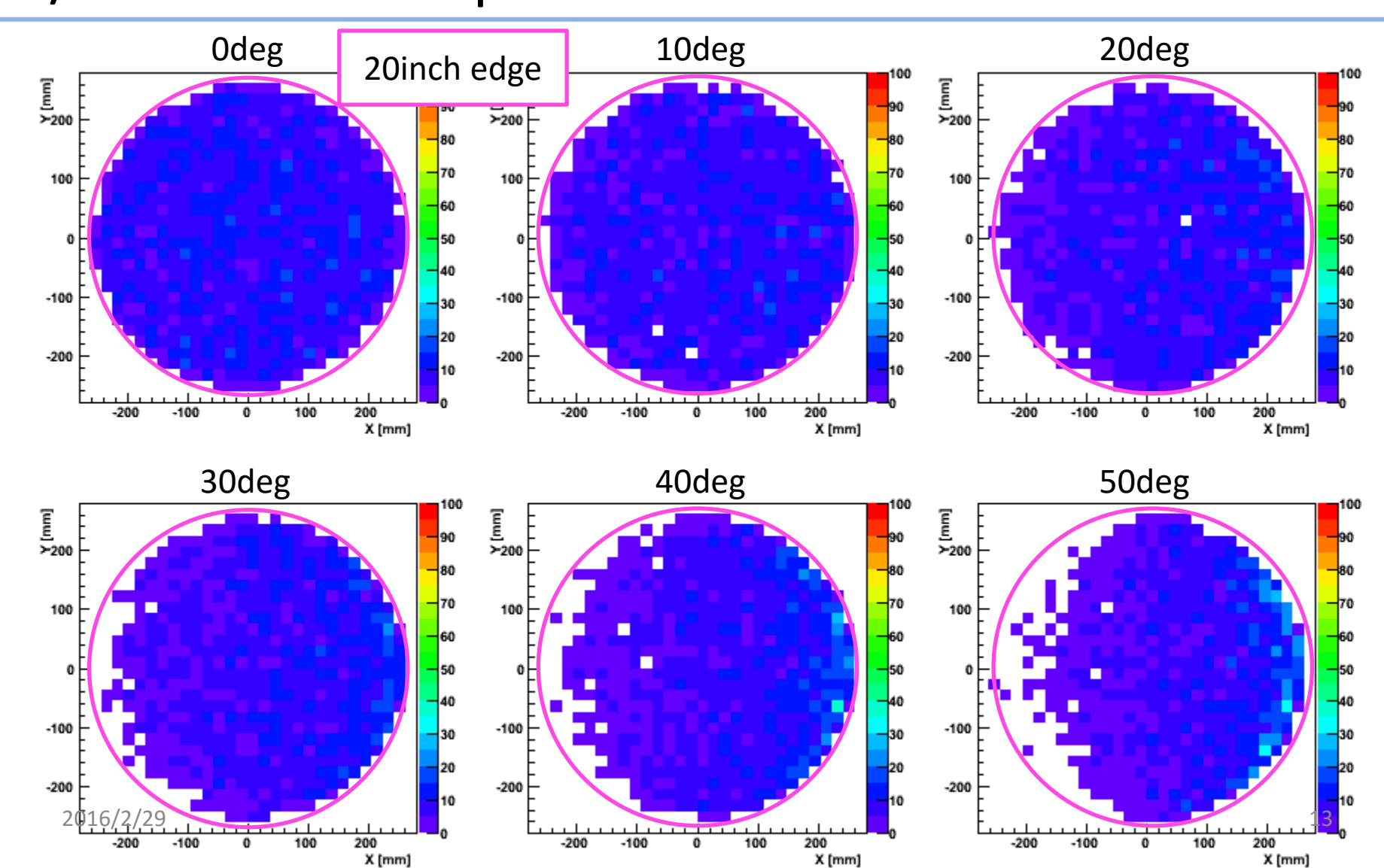


### 位置-角度依存性

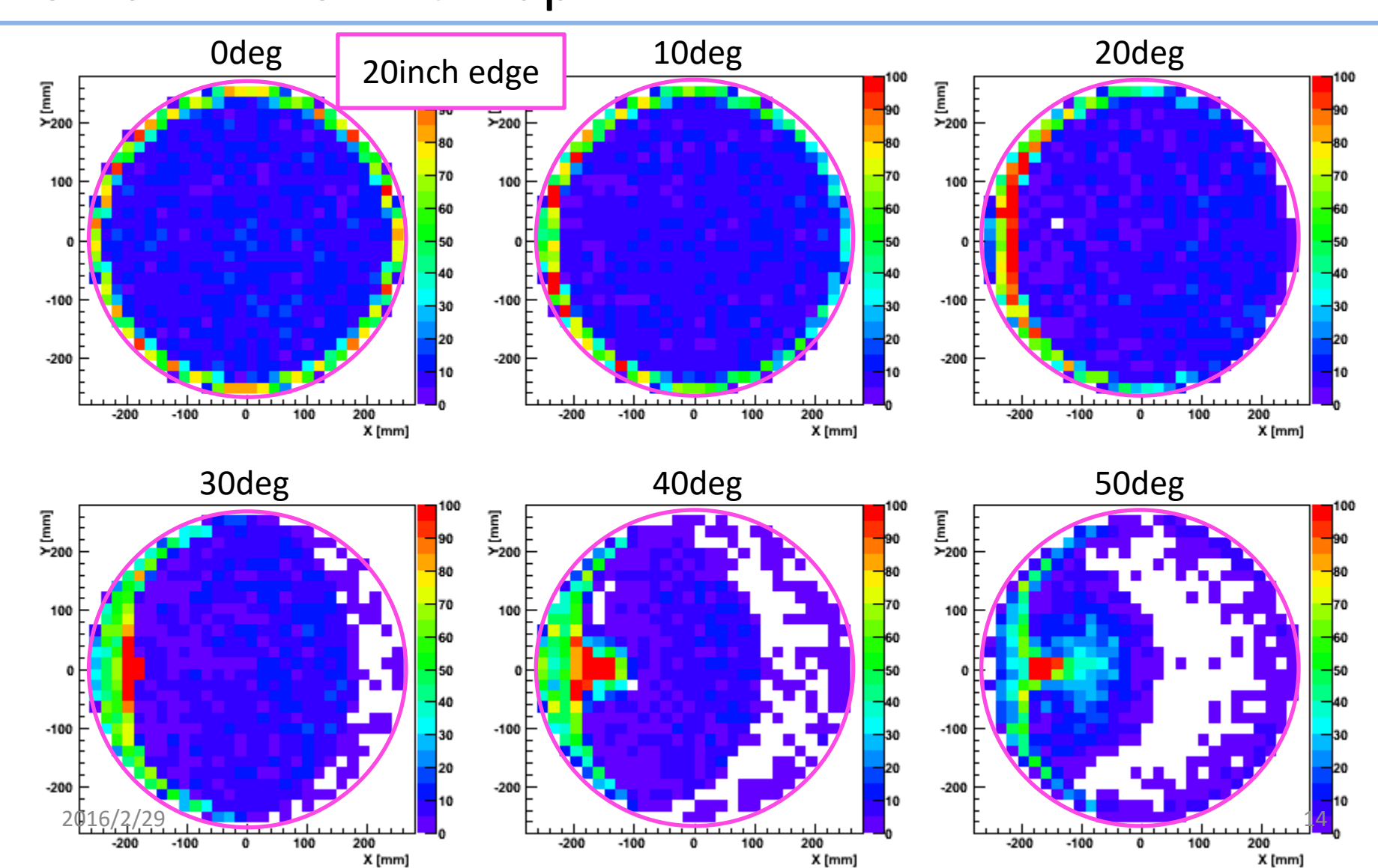
- 位置・角度依存性を測定
  - 光電面上5点での計数率
- 線形でfitし、10分割することで、 各部分での量子効率の位置・角度依存性をシミュレーションに組み込んだ



#### w/o Mirror hit map



#### 20inch Mirror hit map



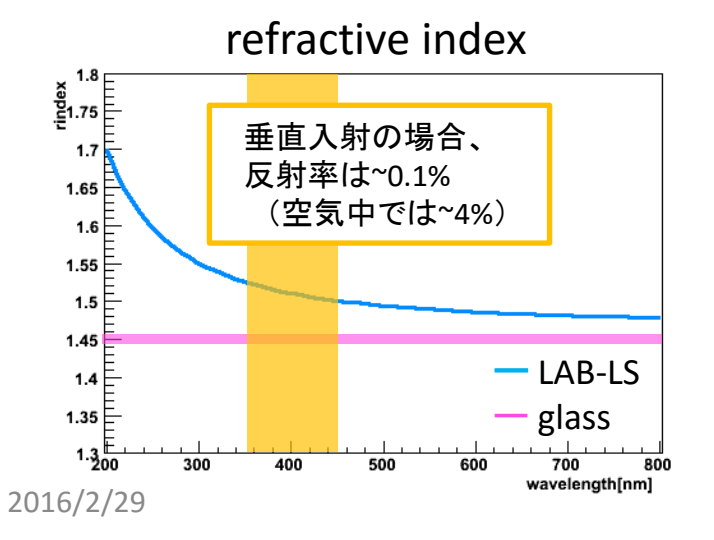
#### 位置 角度依存性

	w/o	w/ 20inch		experiment
0deg	412.5	865.6	2.10	1.82
10deg	348.5	701.6	2.01	2.21
20deg	354.6	695.8	1.96	2.12
30deg	323.1	675.2	2.09	2.24
40deg	307.7	536.9	1.75	1.61

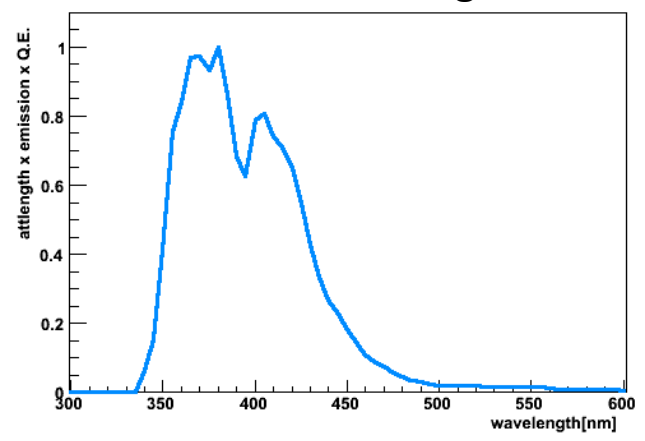
- 位置・角度依存性を組み込んだことにより、 より測定された集光率に近い値となった
- 20inch mirrorは集光率が高いが、多くの光子はTTSや計数率の悪い光電面のエッジ部分にヒットしている

#### LAB-LS and Buffer Oil (LAB w/o PPO)

- LAB-LSの特性
  - LAB w/ PPO 発光スペクトル
  - LAB w/ DMP 減衰長
  - LAB w/ DMP 屈折率
- 先行研究により測定されているデータを シミュレーションに組み込んだ



#### emission x attenuation length x PMT Q.E.



#### **New Simulation**

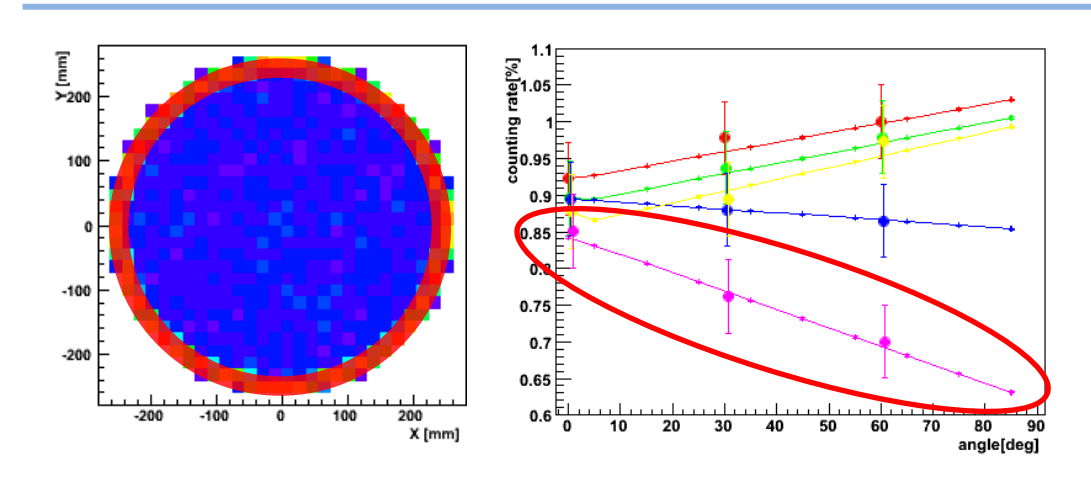
#### LAB-LS and Buffer Oil (LAB w/o PPO)

	in Buffer Oil			
	w/o	w/ 20inch		
0deg	394.0	835.7	2.12	
10deg	288.1	660.9	2.29	
20deg	296.7	595.5	2.01	
30deg	295.5	564.1	1.91	
40deg	251.1	473.0	1.88	

in the air				
w/o	w/ 20inch			
412.5	865.6	2.10		
348.5	701.6	2.01		
354.6	695.8	1.96		
323.1	675.2	2.09		
307.7	536.9	1.75		

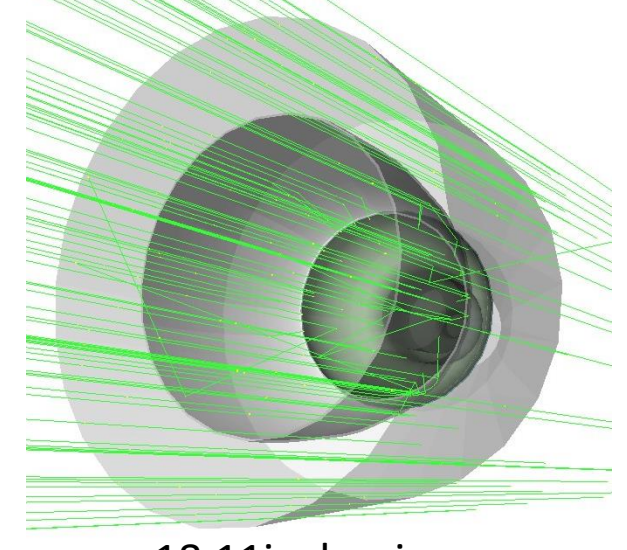
- Buffer Oil中では、屈折率の違いにより空気中よりも集光率が高い
- Buffer Oilは集光率に大きく影響を与えなかった

#### 形状の最適化



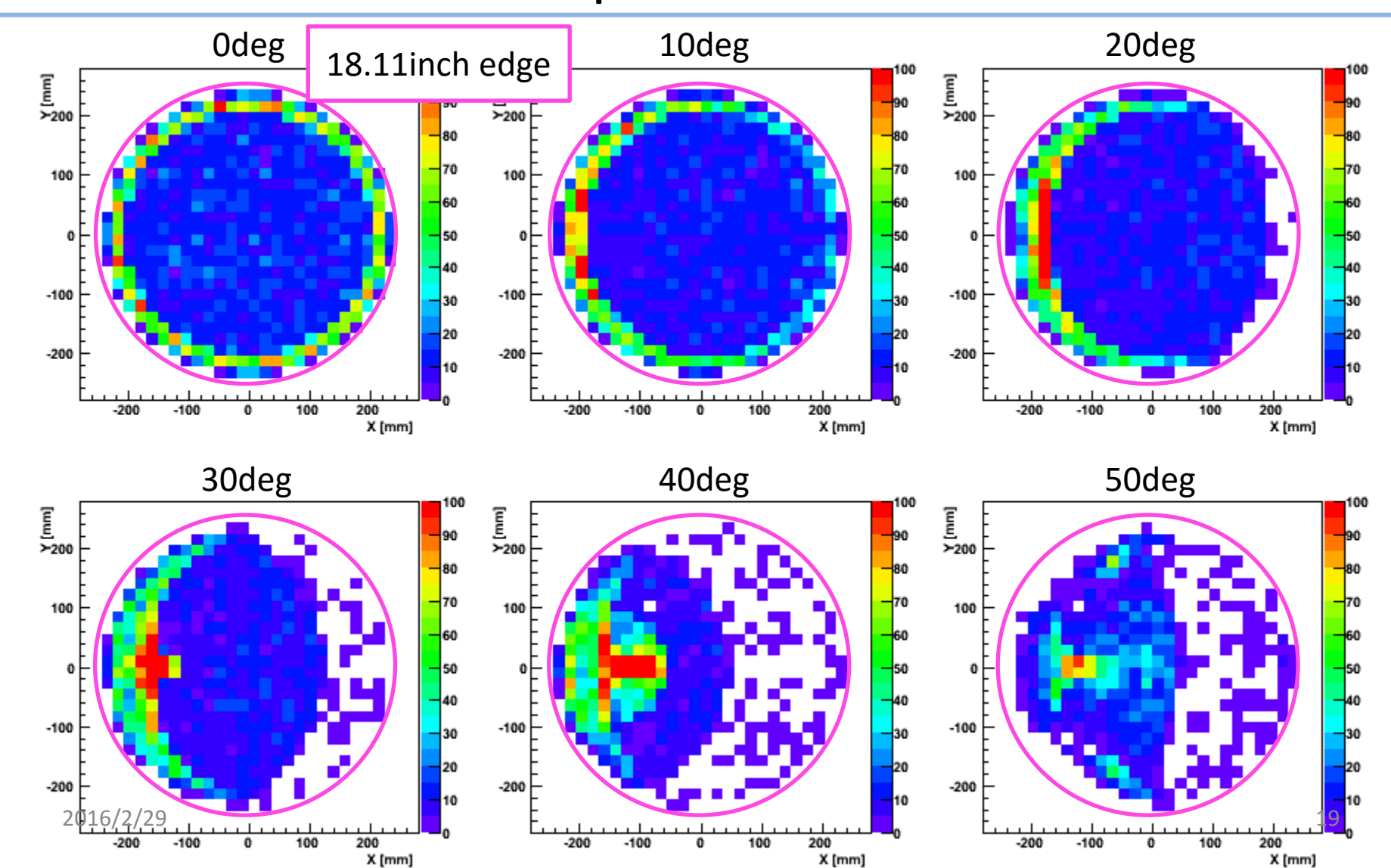
光子が多くヒットする エッジの部分は、 計数率やTTSの値が悪く 時間分解能が悪くなってしまう -> 形状の最適化が必要

- 出口の半径に応じて、 集光ミラーのサイズを変更
- 有効光電面内に確実に 光子をヒットさせるために、 形状の最適化を行った (浜松ホトニクスによると、 有効光電面はρ<230mm)</li>



18.11inch mirror

# 形状の最適化: hit map



#### 形状の最適化: 集光率

	w/o	w/ 18.11inch	
0deg	416.4	685.6	1.65
10deg	341.7	541.3	1.58
20deg	344.3	549.2	1.60
30deg	312.0	501.0	1.61
40deg	272.6	401.3	1.47

確実に有効光電面内に 光子がヒットするが、 集光率が約1.6倍に落ちてしまう

17inch	18inch	19inch	20inch
1.37	1.67	1.86	2.10
1.49	1.56	1.97	2.01
1.46	1.56	1.77	1.96
1.70	1.62	1.76	2.09
1.49	1.53	1.58	1.75

光量小

集光ミラーのサイズを変更すると、 光量は少なくなることが分かる

光量をあまり落とさず、かつ時間分解能を悪くしない、 実際の有効光電面の範囲を細かく測定する必要あり(今後)

### **Outline**

- Winstoncone
  - 形状•素材決定
  - 作製 評価
- Simulation
  - 量子効率の位置・角度依存性
  - LAB-LSの特性
  - 形状の最適化
- まとめと今後

# まとめと今後

#### まとめ

- 将来計画であるKamLAND2-Zen実験では、 集光率向上のための集光ミラーを導入予定
- PMTの量子効率の位置・角度依存性を組み込んだ シミュレーションの結果は、実験結果に近くなった
- LAB-LSやBuffer Oilは集光率に影響しない
- PMTの有効光電面を考慮した、
   18.11inch(ρ=230nm) mirrorでは、集光率は約1.6倍となった

#### 今後

- KamLANDスケールでの、隣のミラーとの干渉の影響の確認
- 実際の有効光電面の範囲の測定 -> 最適な形状の再決定
- PMTに装着する際の固定具等のデザイン

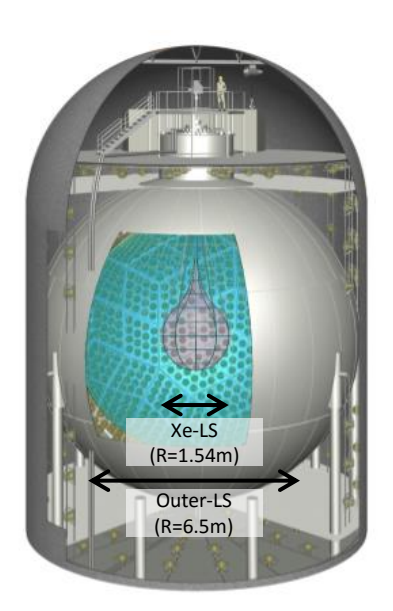
# Backups

#### **Motivation**

#### KamLAND-Zen

Kamioka Liquid scintillator Anti-Neutrino Detector
- Zero Neutrino Double Beta Decay Search

Double-beta Decay Experiment with <sup>136</sup>Xe



1000m underground

Outer - LS 1000ton

Xe - LS (Xe 320kg)

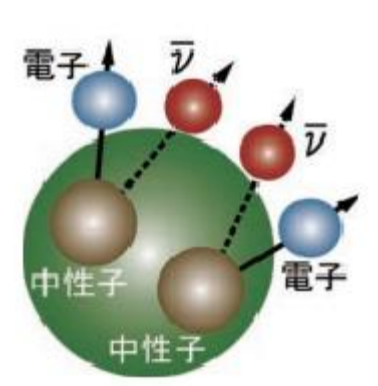
1879 PMTs

the best sensitivity in the world

#### Double-beta Decay

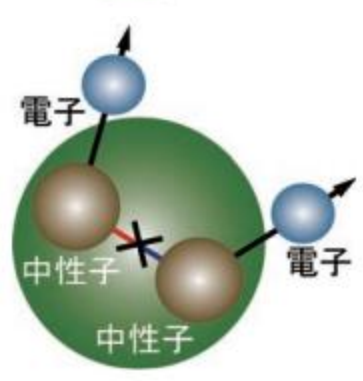
2νββ Decay
 with 2 anti-neutrinos

Standard Model



 0νββ Decay without neutrino

searching the decay...



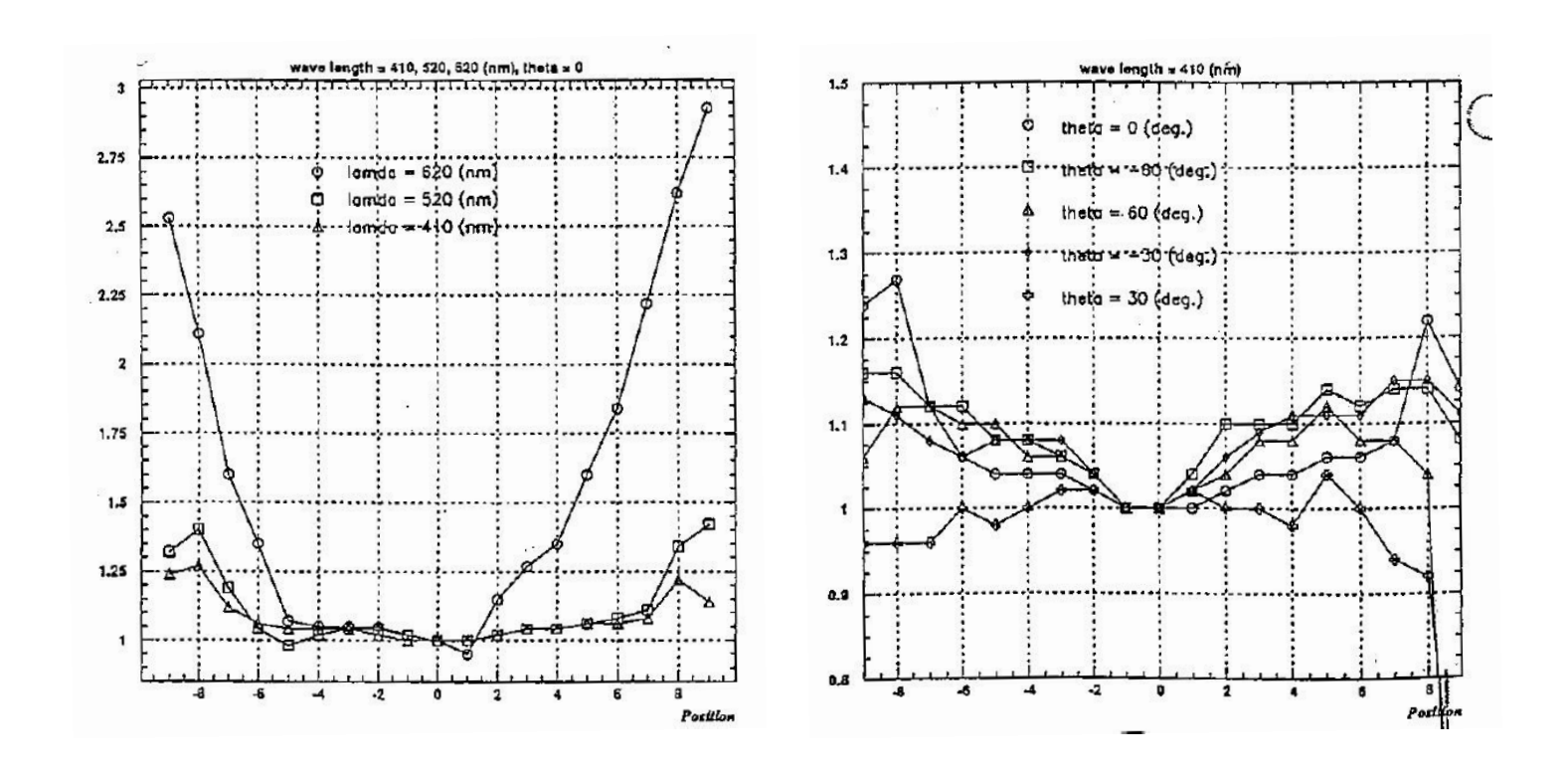
- majorana nature of the neutrino
- neutrino mass hierarchy
- matter dominated

24

# Ray Trace Simulation

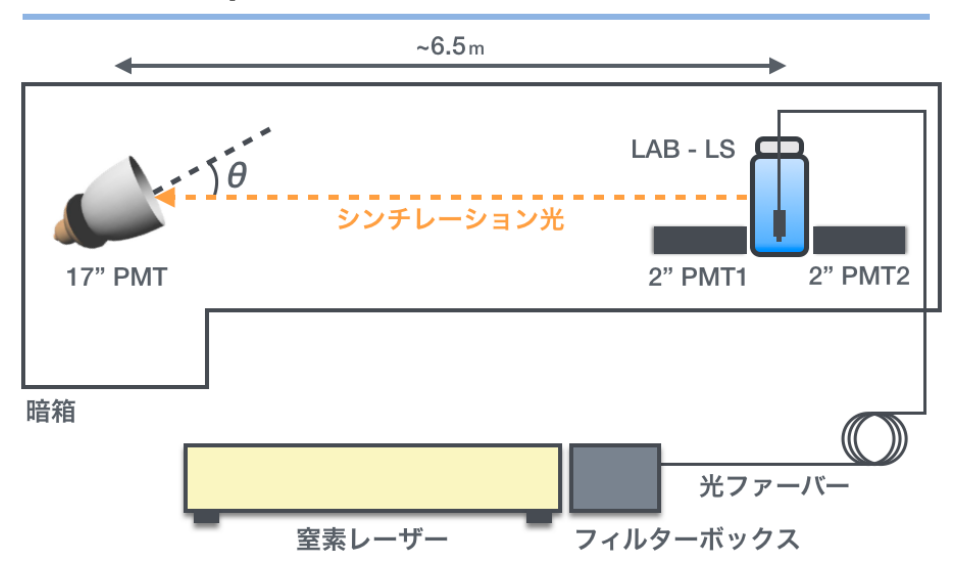
#### Position Compensation of Quantum Efficiency

 We assume that the output of incident angle changes quantum efficiency, and compensate it



### **Mirror Deformation**

#### Set Up



(Diagram by Tachibana-san)

filter: ND2  $\times$  2, ND4  $\times$  2, ND8  $\times$  2

laser: ~10Hz

angle: 0, 10, 20, 30, 40

#### How to evaluate LCE

• Calculate hit probability of 17" PMT:  $P_{hit}$ 

$$P_{hit} = \frac{17" \text{ PMT hit counts}}{2" \text{ PMT hit counts}}$$

• Calculate no hit probability of 17" PMT:  $P_{nohit}$ 

$$P_{nohit} = 1 - P_{hit}$$

 Calculate expected p.e. counts from Poison distribution

$$\lambda = -\ln(P_{nohit})$$

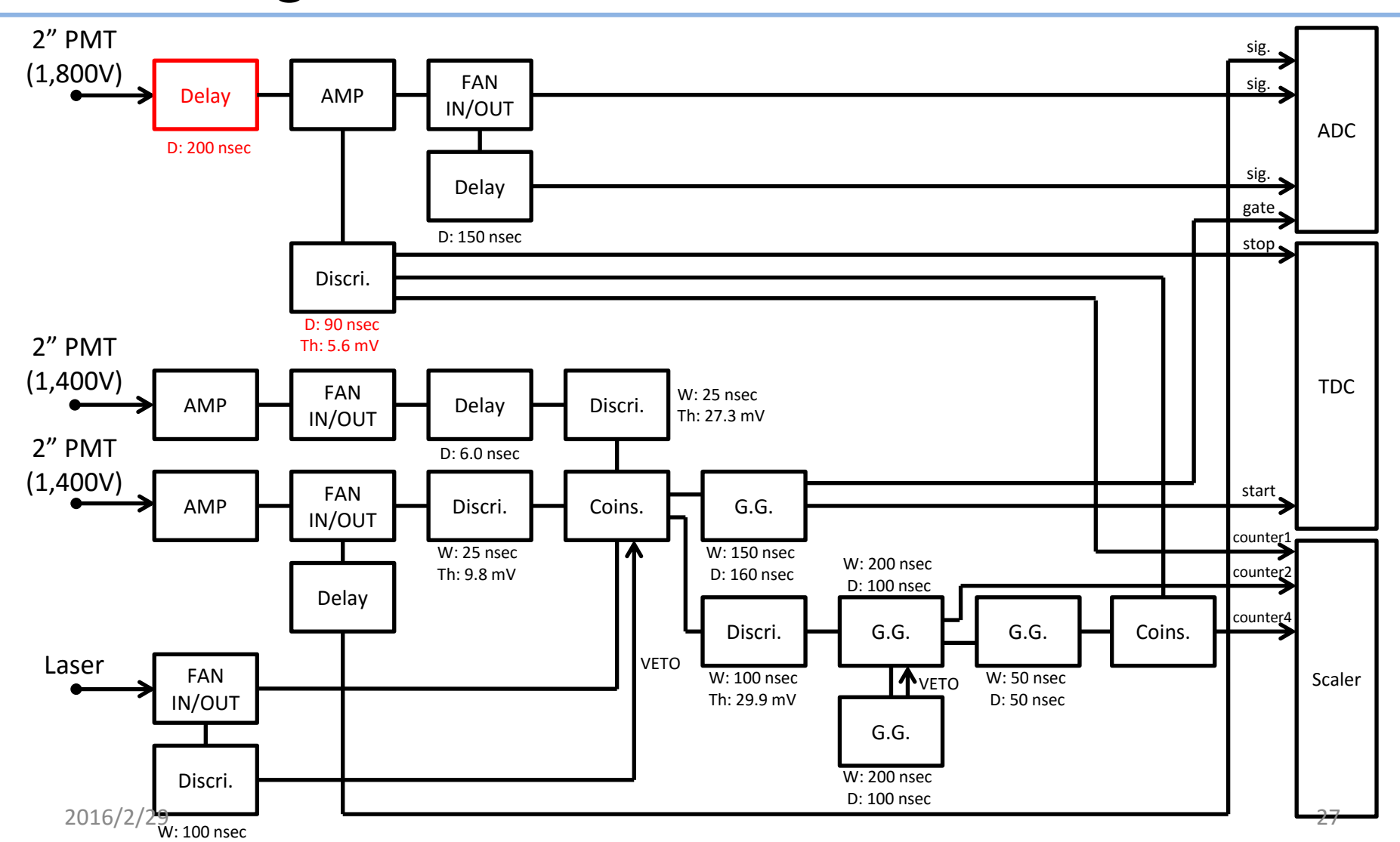
 Calculate the ratio of w/ cone and w/o cone : R

$$R = \frac{\lambda_{w/cone}}{\lambda_{w/ocone}}$$

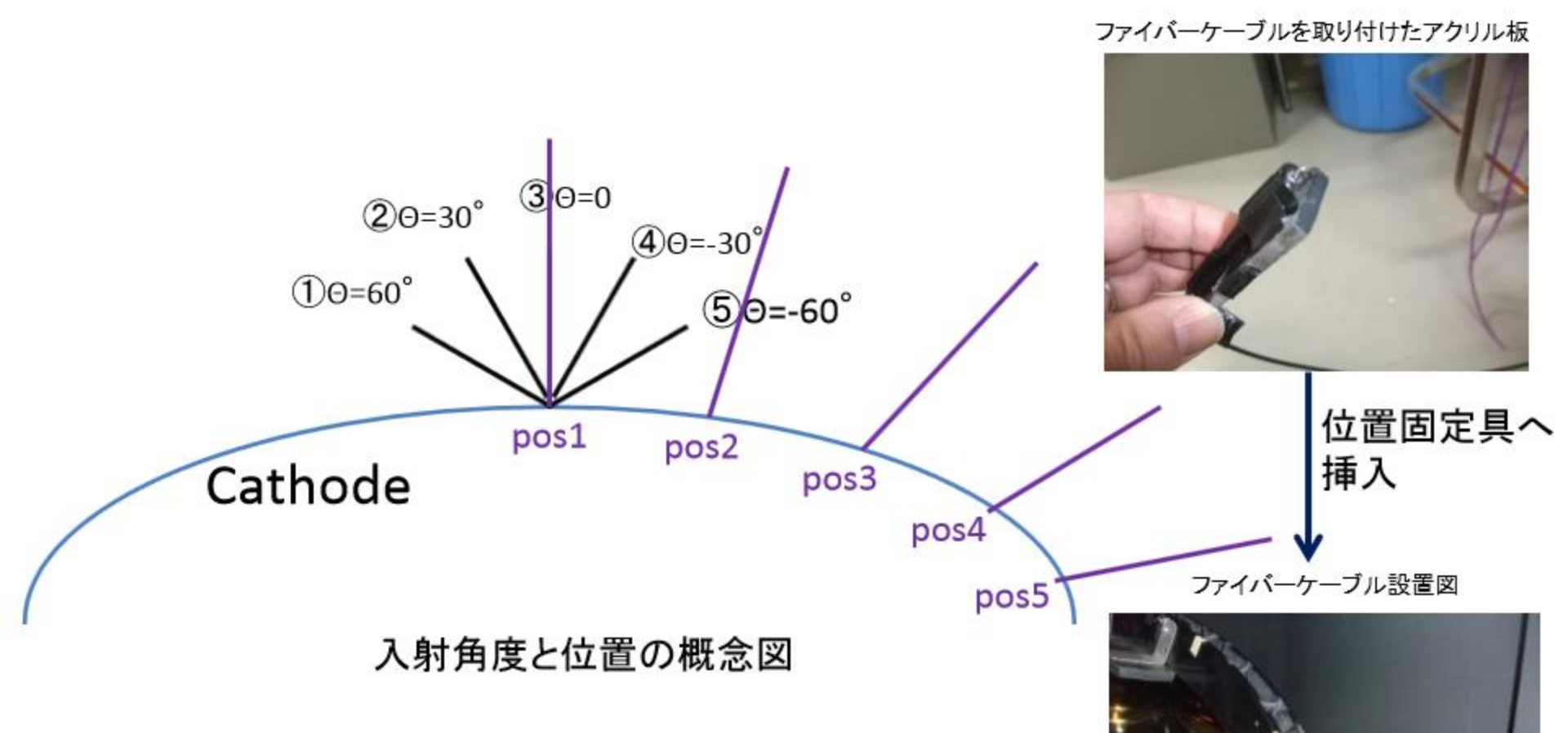
### **Mirror Deformation**

#### Circuit Diagram

Th: 200.5 mV



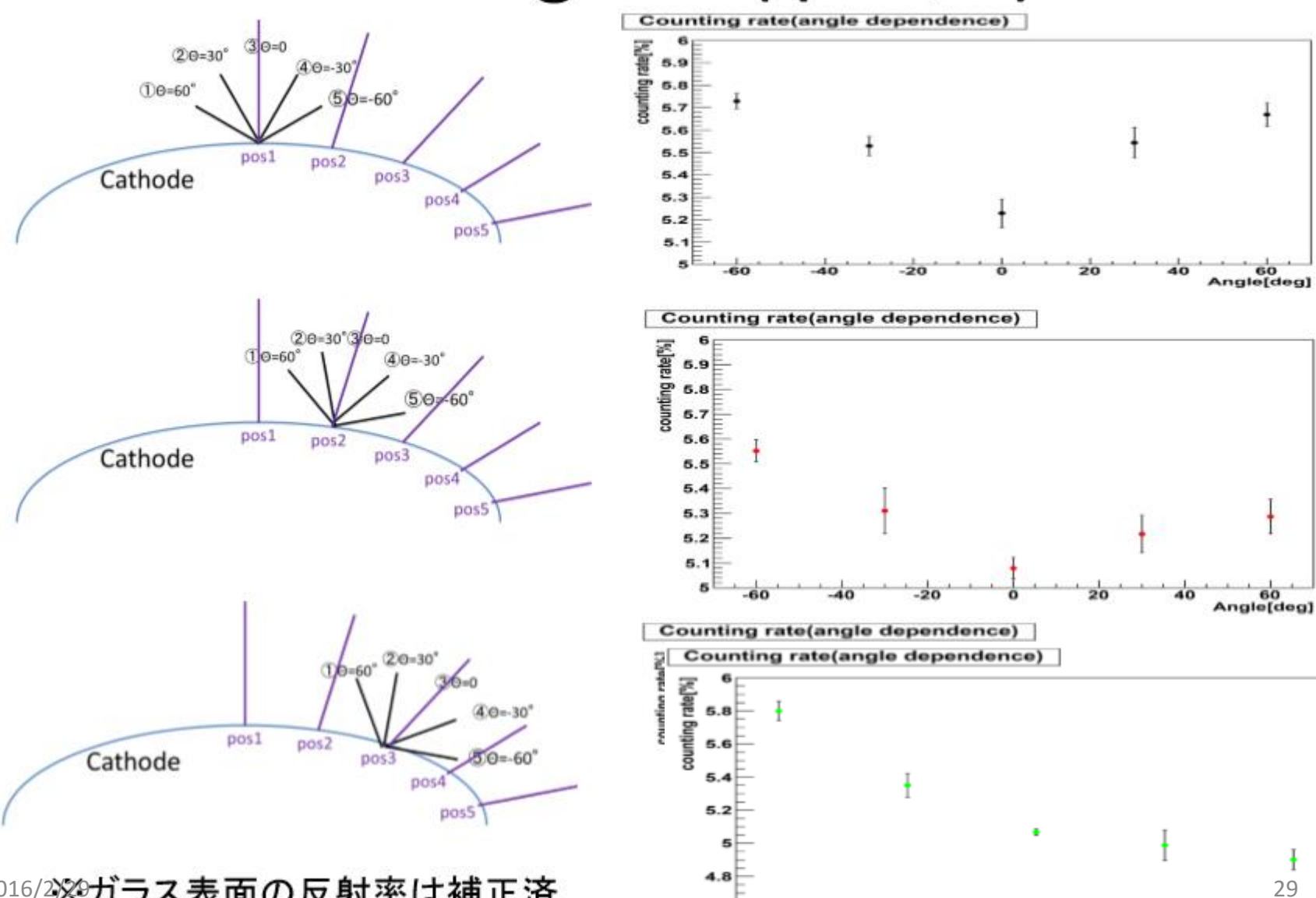
# 計数率の入射角度と位置依存



1つのポジションに対して5方向の角度から入射さ

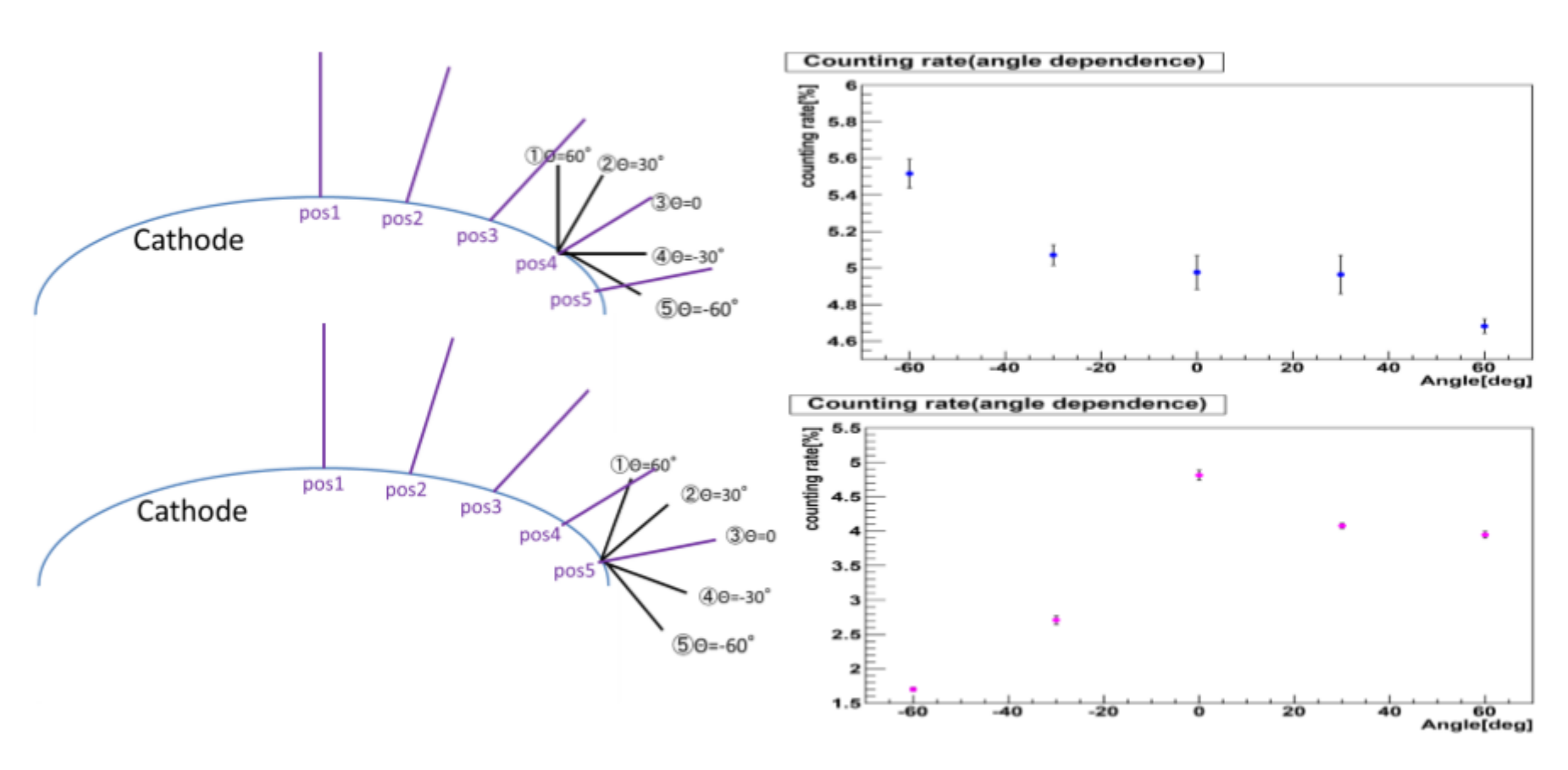
せて計数率を比較する(全部で25点)

# Counting rate( $\phi = \pi/2$ )



2016/2%ガラス表面の反射率は補正済

# Counting rate( $\phi = \pi/2$ )



光電面の中心部では角度をつけるほど出力が上がる 光電面の端に行くにつれて低角度側の計数率の落ち込みが見られる ※ガラス表面の反射率は補正済